

ИНДУКТИВНЫЕ СОПРОТИВЛЕНИЯ РЕАКЦИИ ЯКОРЯ АЛЬТЕРНАТИВНО-ПУЛЬСАЦИОННЫХ МАШИН

В. Б. ГОМЗЯКОВ, Ю. Н. КРОНЕБЕРГ, А. С. ЖИВИНОВ

Представлена научным семинаром кафедр электрических машин и общей
электротехники

Особенность машин альтернативно-пульсационного типа [1] состоит в том, что полюсы одной полярности возбуждаются постоянными магнитами, противоположной — преимущественно от обмотки возбуждения, а по осевым магнитопроводам замыкается разность потоков полюсов противоположной полярности. Обычно для увеличения глубины регулирования полюсы, возбуждаемые постоянными магнитами, выполняются с меньшей полюсной дугой. По этим причинам потоки реакции якоря под разноименными полюсами оказываются различными, а сопротивления реакции якоря x_{ad} , x_{aq} определяются их суммарным действием.

Несмотря на то, что из-за сложности продольной цепи использование x_{ad} в машинах альтернативно-пульсационного типа для расчета рабочих характеристик нецелесообразно [2, 3], иногда знание этого параметра оказывается все-таки необходимым (работа в комплекте с регуляторами, анализы поведения машин в системах из нескольких источников и разных по характеру нагрузок и т. д.). При определении x_{ad} должна учитываться специфика структуры продольной магнитной цепи машины.

Продольная ось

Индуктивное сопротивление реакции якоря по продольной оси, как известно, определяется выражением [4]

$$x_{ad} = 2mf \frac{w_e^2}{p} \frac{\Phi_{\Sigma ad1}}{F_{ad1}}, \quad (1)$$

где f — частота; p , m , w_e — числа пар полюсов, фаз и эффективных витков; $\Phi_{\Sigma ad1}$ — результирующий поток первой гармоники от намагничающей силы (н. с.) реакции якоря с амплитудой F_{ad1} . Для определения $\Phi_{\Sigma ad1}$ воспользуемся схемой замещения магнитной цепи (рис. 1), сопротивления которой выражены в относительных единицах при базовом сопротивлении воздушного зазора

$$R_\delta = \frac{1}{\mu_0} \frac{\delta k_\delta}{\tau l}, \quad (2)$$

где τ , l — полюсное деление и длина якоря;
 δ , k_δ — воздушный зазор и коэффициент Картера.

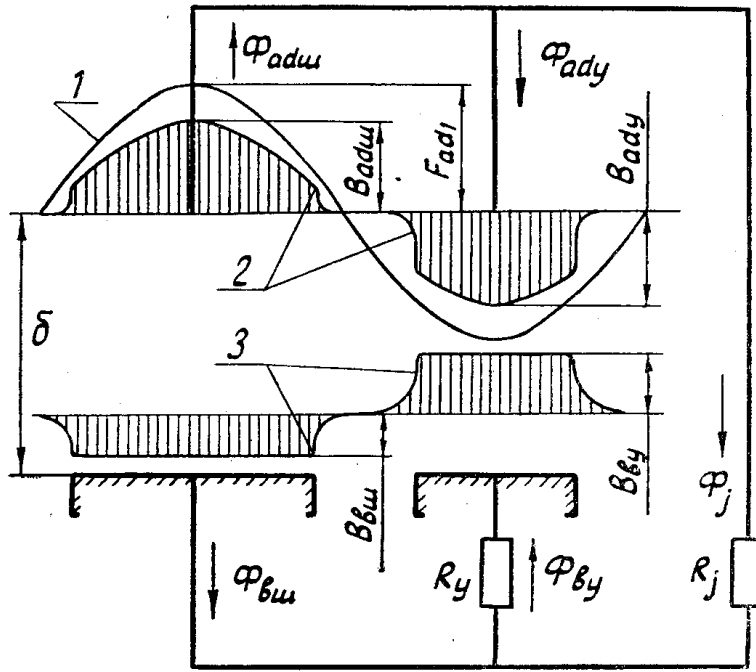


Рис. 1. Схема замещения магнитной цепи по продольной оси и составляющие индукций в воздушном зазоре: 1 — н. с. реакции якоря по продольной оси; 2 — поле реакции якоря; 3 — поле возбуждения; R_y — сопротивление постоянного магнита с учетом его рассеяния; R_j — сопротивление осевого магнитопровода

При линейности магнитной цепи можно рассматривать ее конечное состояние как результат наложения от действия двух источников: н. с. реакции якоря, синусоидально распределенной по расточке статора, и н. с. от падений магнитного потенциала на сопротивлениях R_y и R_j , причем вторые действуют аналогично н. с. обмотки возбуждения, создавая потоки широких и узких полюсов ($\Phi_{\text{в.ш.у}}$) и поля воздушного зазора с индукциями по осям полюсов

$$B_{\text{в.ш.у}} = \frac{\Phi_{\text{в.ш.у}}}{a_{i\text{ш.у}} \cdot \tau_l}, \quad (3)$$

где $a_{i\text{ш.у}}$ — коэффициенты расчетной полюсной дуги [5].

Для индукций ($B_{\text{ад.ш.у}}$) и потоков первых гармоник ($\Phi_{1\text{ад.ш.у}}$) реакции якоря, используя коэффициенты поля воздушного зазора [6], получаем

$$B_{\text{ад.ш.у}} = F_{\text{ад1}} \frac{\mu_0}{\delta k_\delta k_{\mu\text{ш.у}}}, \quad (4)$$

$$\Phi_{1\text{ад.ш.у}} = \frac{2}{\pi} \tau_l B_{\text{ад.ш.у}} k_{d\text{ш.у}}. \quad (5)$$

Учитывая, что отношение первых гармоник к полным потокам реакции якоря для альтернативно-пульсационных машин имеет вид

$$\frac{\Phi_{1\text{ад.ш.у}}}{\Phi_{\text{ад.ш.у}}} = \frac{2}{\pi} \frac{k_{d\text{ш.у}}}{k_{f\text{ш.у}}}, \quad (6)$$

найдем

$$\Phi_{\text{ад.ш.у}} = \frac{F_{\text{ад1}}}{R_\delta} \frac{k_{f\text{ш.у}}}{k_{\mu\text{ш.у}}}, \quad (7)$$

где $k_{f\text{ш},y}$, $k_{d\text{ш},y}$ — коэффициенты формы полей возбуждения и реакции якоря; $k_{\mu\text{ш},y}$ — коэффициенты насыщения стали статора.

Для независимых контуров схемы замещения можно составить уравнения для определения неизвестных потоков возбуждения

$$R_\delta k_{\mu\text{ш}} \left(\frac{F_{ad1}}{R_\delta k_{\mu\text{ш}}} - \frac{\Phi_{\text{вш}}}{\alpha_{i\text{ш}}} \right) + (\Phi_{ad\text{ш}} - \Psi_{ad\text{y}} - \Phi_{\text{вш}} + \Phi_{\text{вь}}) R_j R_\delta = F_{ad1}, \quad (8)$$

$$R_\delta k_{\mu\text{y}} \left(\frac{F_{ad1}}{R_\delta k_{\mu\text{y}}} - \frac{\Phi_{\text{вь}}}{\alpha_{iy}} \right) + (\Phi_{ad\text{y}} - \Phi_{\text{вь}}) R_y R_\delta - (\Phi_{ad\text{ш}} - \Phi_{\text{вш}} - \Phi_{ad\text{y}} + \Phi_{\text{вь}}) R_j R_\delta = F_{ad1}, \quad (9)$$

решив которые, найдем

$$\Phi_{\text{вш}} = \frac{\alpha_{i\text{ш}}}{M} - \frac{F_{ad1}}{R_\delta} R_j \left[\frac{k_{f\text{ш}}}{k_{\mu\text{ш}}} (k_{\mu\text{y}} + \alpha_{iy} R_y) - k_{fy} \right], \quad (10)$$

$$\Phi_{\text{вь}} = \frac{\alpha_{iy}}{M} \frac{F_{ad1}}{R_\delta} \left\{ \frac{k_{fy}}{k_{\mu\text{y}}} k_{\mu\text{ш}} R_y + R_j \left[\frac{k_{fy}}{k_{\mu\text{y}}} (k_{\mu\text{ш}} + \alpha_{i\text{ш}} R_y) - k_{f\text{ш}} \right] \right\}, \quad (11)$$

где

$$M = k_{\mu\text{ш}} (k_{\mu\text{y}} + \alpha_{iy} R_y) + R_j [\alpha_{iy} k_{\mu\text{ш}} + \alpha_{i\text{ш}} (k_{\mu\text{y}} + \alpha_{iy} R_y)], \quad (12)$$

причем коэффициенты $\alpha_{i\text{ш},y}$, входящие в (10)–(12), должны определяться с учетом соотношения индукций (β) под широкими и узкими полюсами [5]

$$\beta = \frac{\alpha_{iy}}{\alpha_{i\text{ш}}} \frac{\Phi_{\text{вш}}}{\Phi_{\text{вь}}}. \quad (13)$$

При известных $\Phi_{\text{вш},y}$ можно найти первые гармоники результирующих потоков широких и узких полюсов

$$\Phi_{i\text{ш},y} = \frac{2}{\pi} \left(\frac{F_{ad1}}{R_\delta} \frac{k_{d\text{ш},y}}{k_{\mu\text{ш},y}} - \Phi_{\text{вш},y} \frac{k_{f\text{ш},y}}{\alpha_{i\text{ш},y}} \right), \quad (14)$$

а подставив их сумму в (1), получим

$$x_{ad} = 2mf \frac{\mu_0 DI}{\delta k_\delta} \frac{w_3^2}{p^2} \frac{C}{M}, \quad (15)$$

где

$$C = M \left(\frac{k_{d\text{ш}}}{k_{\mu\text{ш}}} + \frac{k_{dy}}{k_{\mu\text{y}}} \right) - R_y \left[k^2_{fy} \frac{k_{\mu\text{ш}}}{k_{\mu\text{y}}} + R_j \left(\alpha_{iy} \frac{k^2_{f\text{ш}}}{k_{\mu\text{ш}}} + \alpha_{i\text{ш}} \frac{k^2_{fy}}{k_{\mu\text{y}}} \right) \right] - R_j \frac{k_{\mu\text{ш}}}{k_{\mu\text{y}}} \left(k_{fy} - k_{f\text{ш}} \frac{k_{\mu\text{y}}}{k_{\mu\text{ш}}} \right)^2. \quad (16)$$

Поперечная ось

Первая гармоника потока поперечной реакции якоря также может быть получена суммированием первых гармоник потоков узких и широких полюсов, причем при отсутствии полюсных башмаков потоки реакции якоря под узкими полюсами (из постоянных магнитов) существенно снижаются, что приводит к уменьшению x_{aq} . Для учета этого факта воспользуемся эмпирической формулой для x_{aq} магнитоэлектрических машин [7]

$$x_{aqm} = x_{aqe} \frac{1}{1 + \frac{b_m}{2\delta\rho}}, \quad (17)$$

где b_m , ρ — ширина магнита и проницаемость возврата. Тогда для индуктивного сопротивления по поперечной оси альтернативно-пульсационной машины имеем

$$x_{aq} = 2mf \frac{\mu_0 Dl}{k_e \delta} \frac{w_e^2}{\mu^2} \left(\frac{k_{qsh}}{k_{qsh}} + \frac{k_{qy}}{k_{qy}} \frac{1}{1 + \frac{b_m}{2\delta\rho}} \right), \quad (18)$$

откуда при большой проницаемости возврата ($\rho \sim \infty$) получим сопротивление x_{aq} для машины с полюсными башмаками.

Расчеты, проводенные по (15), показывают, что индуктивное сопротивление реакции якоря по продольной оси интенсивно уменьшается с ростом сопротивлений магнита и осевого магнитопровода, снижаясь при больших значениях последних до 20—30% от сопротивления базовой машины электромагнитного возбуждения с полюсной дугой $a=0,5$ (a_y+a_{sh}), тогда как неравенство полюсных дуг ($a_y/a_{sh}=0,5 \div 1$) мало влияет на величину x_{ad} .

Индуктивное сопротивление реакции якоря по поперечной оси машины с полюсными наконечниками увеличивается при уменьшении a_y/a_{sh} примерно до 1,1 сопротивления базовой машины; при отсутствии башмаков x_{aq} растет более интенсивно ($\sim 0,6 x_{aq}$ при $a_y/a_{sh}=1$ и $\sim 0,9 x_{aq}$ при $a_y/a_{sh}=0,5$).

ЛИТЕРАТУРА

1. Ю. Н. Кронеберг, В. Б. Гомзяков, А. С. Жибинов. Конструкции альтернативно-пульсационных машин. В кн.: «Проектирование устройств электропитания и электропривода». Т. 2. «Электромеханические устройства и элементы технологии». М., «Энергия», 1973, с. 22—27.
2. Ю. Н. Кронеберг, В. Г. Мосин, А. С. Жибинов. К расчету электрических машин со сложными продольными цепями. В кн.: «Устройства электропитания и электропривода малой мощности». Т. 2. «Электрические машины и аппараты». М., «Энергия», 1970, с. 30—33.
3. Ю. Н. Кронеберг, В. Г. Мосин, А. С. Жибинов. Расчет внешних характеристик синхронных машин со сложными продольными цепями. В кн.: «Электротехническая аппарата». Т. 2. «Электрические машины». М., «Энергия», 1971, с. 8—14.
4. М. П. Костенко, Л. М. Пиотровский. Электрические машины. Ч. 2. М.-Л., «Энергия», 1965, с. 704.
5. Ю. Н. Кронеберг, А. С. Жибинов, В. Б. Гомзяков. Коэффициенты расчетной полюсной дуги альтернативно-пульсационных машин с магнитномягкими полюсными наконечниками. Известия ТПИ, т. 228 (в печати).
6. А. С. Жибинов, Ю. Н. Кронеберг, В. Б. Гомзяков. Коэффициенты формы поля воздушного зазора альтернативно-пульсационных машин с магнитномягкими полюсными наконечниками. Настоящий сборник.
7. В. А. Балагуров, Ф. Ф. Галтеев, А. Н. Ларионов. Электрические машины с постоянными магнитами. М.-Л., «Энергия», 1964, с. 480.